

# Grundlagen



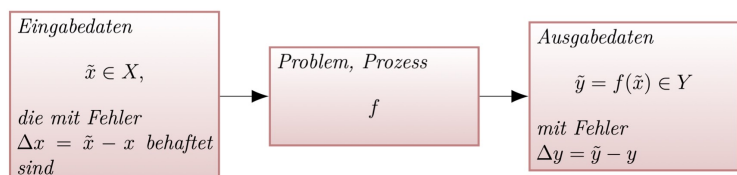
## Fehlerarten

- Modellfehler: Idealisierungen / Vereinfachungen
- Datenfehler: Messfehler
- Verfahrensfehler: numerische Verfahren berechnen Lösungen nur näherungsweise
- Rundungsfehler: reelle Zahlen können mit Floats nur näherungsweise dargestellt werden

The numerical point of view goes back to the earliest mathematical writings. A tablet from the Yale Babylonian Collection (YBC 7289), gives a sexagesimal numerical approximation of the square root of 2, the length of the diagonal in a unit square.

## Konditionierung

beschreibt wie stark Fehler verstärkt werden resp. welche Gleichheit man bestenfalls bei gestörten Eingabedaten erwarten kann



absolute Fehler:  $\|\vec{\Delta x}\|, \|\vec{\Delta y}\|$

relative Fehler:  $\delta_x = \frac{\|\vec{\Delta x}\|}{\|\vec{x}\|}, \delta_y = \frac{\|\vec{\Delta y}\|}{\|\vec{y}\|}$

absolute Kondition:  $\frac{\|\vec{\Delta x}\|}{\|\vec{\Delta y}\|}$

relative Kondition:  $\frac{\delta_y}{\delta_x}$

$\left. \begin{array}{l} \frac{\|\vec{\Delta x}\|}{\|\vec{\Delta y}\|} \\ \frac{\delta_y}{\delta_x} \end{array} \right\}$  je kleiner desto besser

falls  $f: X \rightarrow Y$  eine reelle Funktion einer reellen Variable ist, also  $X=Y=\mathbb{R}$  ist, gilt:

absolute Konditionszahl:  $K_{abs} = |f'(x)|$

relative Konditionszahl:  $K_{rel} = \left| f'(x) \frac{x}{f(x)} \right|$

$\rightarrow$  schlecht konditioniert:  $K_{rel} \gg 1$

$\left. \begin{array}{l} K_{abs} \\ K_{rel} \end{array} \right\}$  je kleiner desto besser

## Auslöschung

Verstärkung von Rundungsfehlern bei Subtraktion zweier ungefähr gleich grosser Zahlen  
 $\rightarrow$  schlecht konditionierte Operation

## Stabilität

ein Algorithmus ist stabil, falls die während der Laufzeit erzeugten Fehler in der Größenordnung des durch die Kondition bedingten unvermeidbaren Fehlers bleiben

# digitale Zahlendarstellung

reelle Zahlen können i.A. nicht auf Computer dargestellt werden, da sie i.A. unendlich viele Nachkommastellen aufweisen  
 => Rundungsfehler

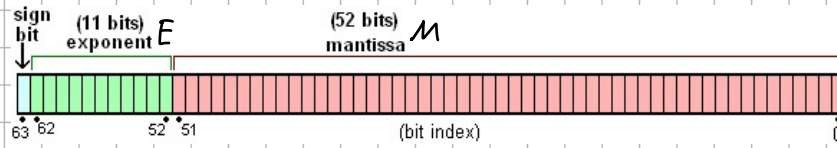
Maschinenzahlen: (endliche) Menge der auf Computer darstellbaren Zahlen

## normalisierte Gleitpunktdarstellung

$$x = f \cdot b^e \text{ wobei}$$

- $b$  die Basis des Zahlensystems ist:  $b \in \mathbb{N} \setminus \{1\}$
  - der Exponent  $e$  eine ganze Zahl innerhalb gewisser festen Schranken ist:  $r \leq e \leq R$
  - die Mantisse/Fraktion  $f$  eine feste Anzahl  $m$  von Stellen hat:
- $$f = \pm 0.d_1 \dots d_m = \pm \left( \sum_{j=1}^m d_j b^{-j} \right), \quad d_j \in \{0, 1, \dots, b-1\}$$
- für  $x \neq 0$  stets  $d_1 \neq 0$  ist (Eindeutigkeit der Darstellung)

## Double/float64 nach IEEE

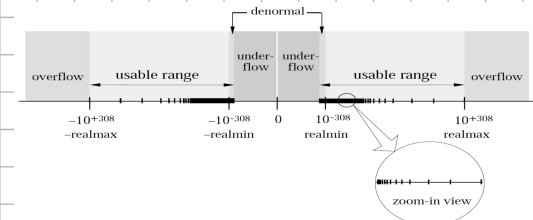
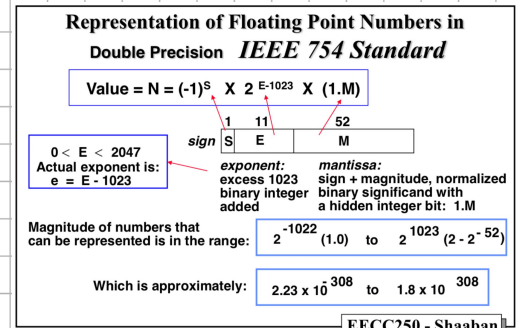


$$(-1)^{\text{sign}} \cdot 1.M \cdot 2^{E - 1023}_{10}$$

$$= (-1)^{\text{sign}} \cdot (1.b_{51}b_{50}\dots b_0)_2 \cdot 2^{(b_{62}b_{61}\dots b_{52})_2 - 1023}_{10}$$

$$= (-1)^{\text{sign}} \cdot (1 + b_{51} \cdot 2^{-1} + b_{50} \cdot 2^{-2} + \dots + b_1 \cdot 2^{-51} + b_0 \cdot 2^{-52})_{10} \cdot 2^{(b_{62} \cdot 2^{10} + b_{61} \cdot 2^9 + \dots + b_{53} \cdot 2 + b_{52} \cdot 1 - 1023)_{10}}$$

gewisse Bitmuster für  $\pm\infty$ , NaN, etc reserviert...



## Maschinengenauigkeit

$$\text{eps} = \frac{1}{2} \cdot 2^{1-m} \text{ mit } m = \text{Mantissenlänge (Anzahl Bits)}$$

$\hat{=}$  Auflösungskraftigkeit des Rechners

$\hat{=}$  kleinste mögliche auf dem Rechner darstellbare Zahl, die zu 1 addiert von der Rundung nach vorhergenommen wird

für Double gilt mit  $m=52$ :  $\text{eps} \approx 2.22 \cdot 10^{-16}$

$\rightarrow$  falls  $K \geq \frac{1}{\text{eps}} \approx 10^{15} \Rightarrow$  schlecht konditioniert

```
import numpy as np
print(np.finfo(float).eps)
```

2.220446049250313e-16

## Addition von mehreren Zahlen

man sollte Summanden in (betragsmässig) aufsteigender Reihenfolge addieren, um ein genaueres Ergebnis zu erhalten

## Fehlerordnung

Fehler  $p$ -ter Ordnung  $\rightarrow$  wenn man Schrittweite halbiert, verringert sich der Fehler um  $(1/2)^p$

symbolisch:  $O(h^p)$  je grösser  $p$ , desto besser

## Ableitung numerisch berechnen

Approximation der ersten Ableitung:

Rückwärtsdifferenz:

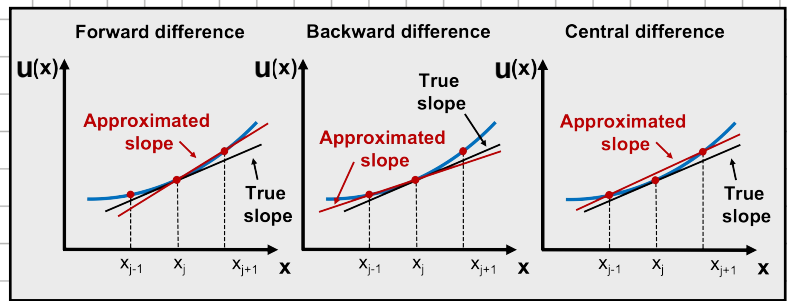
$$\frac{\partial}{\partial x} u(jh) \approx \frac{u_j - u_{j-1}}{h} \text{ mit } O(h)$$

Vorwärtsdifferenz:

$$\frac{\partial}{\partial x} u(jh) \approx \frac{u_{j+1} - u_j}{h} \text{ mit } O(h)$$

zentrale Differenz:

$$\frac{\partial}{\partial x} u(jh) \approx \frac{u_{j+1} - u_{j-1}}{2h} \text{ mit } O(h^2)$$



Approximation der zweiten Ableitung:

zentrale zweite Differenz:

$$\frac{\partial^2}{\partial x^2} u(jh) \approx \frac{u_{j+1} - 2u_j + u_{j-1}}{h^2} \text{ mit } O(h^2)$$

# Lineare Gleichungssysteme

Das lineare Gleichungssystem

$$\begin{cases} a_{1,1}x_1 + \dots + a_{1,n}x_n = b_1 \\ \vdots \quad \vdots \quad \vdots \\ a_{m,1}x_1 + \dots + a_{m,n}x_n = b_m \end{cases} \text{ bzw. } \underline{A} \cdot \vec{x} = \vec{b} \text{ mit } \vec{x} \in \mathbb{R}^n, \underline{A} \in \mathbb{R}^{m \times n}, \vec{b} \in \mathbb{R}^m$$

hat eine eindeutige Lösung falls:

$$\text{rang}(\underline{A}) = n \Leftrightarrow \det(\underline{A}) \neq 0 \Leftrightarrow \text{kern}(\underline{A}) = \{\vec{0}\} \Leftrightarrow \underline{A} \text{ invertierbar}$$

A heißt in diesem Fall regulär

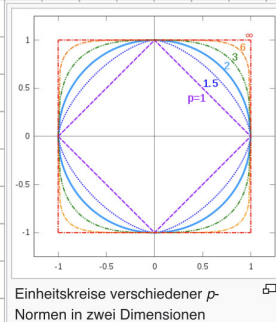
Cramersche Regel

$x_j = \frac{\det(\underline{A}_j)}{\det(\underline{A})}$ , wobei  $\underline{A}_j$  aus  $\underline{A}$  entsteht indem man die j-te Spalte durch  $\vec{b}$  ersetzt

numerisch sehr anfällig

Vektornorm ( $p$ -Norm)

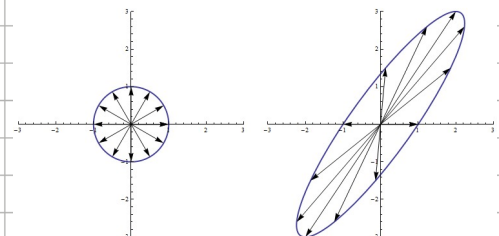
$$\|\vec{x}\|_p := \left( \sum_{i=1}^n |x_i|^p \right)^{1/p}$$



Matrixnorm ( $p$ -Norm)

$$\|\underline{B}\|_p := \sup_{\|\vec{x}\|_p=1} \|\underline{B}\vec{x}\|_p$$

gibt an wie stark die Matrix  $\underline{B}$  einen Vektor maximal verformt



für  $\underline{B} \in \mathbb{R}^{m \times n}$  gilt:

$$\|\underline{B}\|_\infty = \max_{i=1, \dots, m} \sum_{k=1}^n |b_{i,k}|$$

$$\|\underline{B}\|_1 = \max_{k=1, \dots, n} \sum_{i=1}^m |b_{i,k}|$$

$$\underline{B} = \begin{bmatrix} b_{1,1} & \dots & b_{1,n} \\ b_{2,1} & \dots & b_{2,n} \\ \vdots & & \vdots \\ b_{m-1,1} & \dots & b_{m-1,n} \\ b_{m,1} & \dots & b_{m,n} \end{bmatrix}$$

für  $\underline{A} \in \mathbb{R}^{n \times n}$  gilt:

$$\|\underline{A}\|_\infty = \max_{i=1, \dots, n} \sum_{k=1}^n |a_{i,k}|$$

maximale absolute Zeilensumme

$$\|\underline{A}\|_1 = \max_{k=1, \dots, n} \sum_{i=1}^n |a_{i,k}|$$

maximale absolute Spaltensumme

$$\|\underline{A}\|_2 = \sqrt{\lambda_{\max}(\underline{A}^T \underline{A})}$$

Wurzel des grössten Eigenwerts von  $\underline{A}^T \underline{A}$



# Konditionszahl einer Matrix

## Condition Number



$$\kappa(\underline{A}) = \|\underline{A}^{-1}\| \cdot \|\underline{A}\|$$

worst-case-wert für Fehlerverstärkungsfaktor

→ i.A. aufwändig zu berechnen, da Inverse aufwändig ist

- If  $A$  is square and nonsingular, then  $\text{cond}(A) = \|\underline{A}\| \cdot \|\underline{A}^{-1}\|$
  - If  $A$  is singular, then  $\text{cond}(A) = \infty$
  - If  $A$  is nearly singular, then  $\text{cond}(A)$  is large.
  - The condition number measures the ratio of maximum stretch to maximum shrinkage:
- $$\|\cdot\| \cdot \|\cdot^{-1}\| = \left( \max_{x \neq 0} \frac{\|\underline{A}x\|}{\|x\|} \right) \cdot \left( \min_{x \neq 0} \frac{\|\underline{A}x\|}{\|x\|} \right)^{-1}$$

relativer Fehler der Lösung

$$\delta_{\vec{x}} = \frac{\|\vec{\Delta x}\|}{\|\vec{x}\|} = \frac{\|\vec{x} - \vec{\tilde{x}}\|}{\|\vec{x}\|}$$

$$\frac{\|\vec{\Delta x}\|}{\|\vec{x}\|} \leq \kappa(\underline{A}) \frac{\|\vec{\Delta b}\|}{\|\vec{b}\|}$$

Fehlerverstärkung von  $\vec{b}$  zu  $\vec{x}$

$$\text{Fehlerverstärkungsfaktor} := \frac{\delta_{\vec{x}}}{\delta_{\vec{b}}} = \frac{\|\vec{\Delta x}\|}{\|\vec{x}\|}$$

$$\frac{\delta_{\vec{x}}}{\delta_{\vec{b}}} \leq \kappa(\underline{A})$$

Residuum

$$\vec{r} = \vec{b} - \underline{A} \vec{x}$$

→ Mass für Genauigkeit einer Näherung  $\vec{\tilde{x}}$  der Lösung des LGS  $\underline{A} \vec{x} = \vec{b}$   
 → Aussagekraft hängt von Kondition ab:

$$\frac{\|\vec{r}\|}{\kappa(\underline{A}) \|\vec{b}\|} \leq \frac{\|\vec{x} - \vec{\tilde{x}}\|}{\|\vec{x}\|} \leq \frac{\kappa(\underline{A}) \|\vec{r}\|}{\|\vec{b}\|}$$

falls schlecht konditioniert  $\Rightarrow \kappa(\underline{A})$  gross  
 $\Rightarrow$  Schranke für den relativen Fehler liegen weit voneinander

Gauss-Elimination ohne Pivotisierung

gegeben: LGS  $\underline{A} \vec{x} = \vec{b}$

gesucht:  $\vec{x}$

Vorgehen:

- normal "Gauß":  $(\underline{A} | \vec{b}) \rightsquigarrow \dots \rightsquigarrow (\underline{R} | \vec{c})$  mit rechter/oberer Dreiecksmatrix  $\underline{R}$
- Rückwärtseinsetzen:  $\underline{R} \vec{x} = \vec{c}$  nach  $\vec{x}$  auflösen

# LU-Zerlegung mit Skalierung und Pivotisierung

gegeben:  $A$

gesucht:  $P, D, L, R$  sodass  $LR = PDA$

$$PDA = LR$$

$$\begin{bmatrix} p_{11} & \dots & p_{1n} \\ \vdots & \ddots & \vdots \\ p_{n1} & \dots & p_{nn} \end{bmatrix} \begin{bmatrix} d_1 & & 0 \\ & d_2 & \\ & & \ddots & 0 \\ & & & d_n \end{bmatrix} \begin{bmatrix} a_{11} & \dots & a_{1n} \\ \vdots & \ddots & \vdots \\ a_{n1} & \dots & a_{nn} \end{bmatrix} = \begin{bmatrix} 1 & & & & & \\ * & 1 & & & & \\ \vdots & \vdots & \ddots & & & \\ * & * & \dots & 1 & & \\ * & * & \dots & * & 1 & \\ & & & & & * \\ & & & & & * \end{bmatrix} \begin{bmatrix} * & * & \dots & * & * \\ * & * & \dots & * & * \\ \vdots & \vdots & \ddots & \vdots & \vdots \\ * & * & \dots & * & * \\ & & & & * \end{bmatrix}$$

Vorgehen:

- bestimme Diagonalmatrix  $D$ , welche auf der Diagonale die Zeilenskalierungsfaktoren enthält:

$$D = \text{diag}(d_1, \dots, d_n) \quad \text{mit } d_i = \frac{1}{\sum_{k=1}^n |a_{ik}|}$$

Skalierung verbessert die Kondition der Matrix

- LU-Zerlegung mit Spaltenspivotisierung auf  $DA$  anwenden:

im  $j$ -ten Schritt schaut man ob unter dem Pivotelement irgendwo eine betragsmäßig größere Zahl vorhanden ist  
 → falls dies der Fall ist wird diese Zeile mit der  $j$ -ten vertauscht  
 → dieselben Zeilen vertauscht man auch bei  $P$  (diese speichert alle Vertauschungen)

dann die Elemente unterhalb Pivotelement eliminieren und die Faktoren in  $L$  speichern  
 → dabei Folgendes beachten:

- nicht Zeilen mit Skalar multiplizieren!
- nur Vielfaches (Faktor  $\alpha$ ) der Pivotzeile zu unteren Zeile addieren
- Faktor  $\alpha$  in Spalte von  $L$  notieren, deren Nummer mit der Nummer der Pivotzeile übereinstimmt

für  $L$ : Zeile Faktor Spalte  
 $I - \alpha \cdot J$

P (Permutationsmatrix):

Matrix mit Nullen und Einsen welche die Information über die Zeilenumtauschungen enthält

→ entsteht aus der Einheitsmatrix, indem man alle Zeilenumtauschungen, welche man bei  $A$  vornimmt auch bei der Einheitsmatrix  $E_n$  macht

$$P = P_{n-1, r_{n-1}} P_{n-2, r_{n-2}} \cdots P_{2, r_2} P_{1, r_1} E_n$$

$$P^{-1} = P^T$$

Pivotisierung verbessert die Stabilität der LU-Zerlegung

## LGS mit LU-Zerlegung lösen

Gegeben:  $\underline{A}, \vec{b}$  sodass  $\underline{A}\vec{x} = \vec{b}$  und  $\underline{P}, \underline{D}, \underline{L}, \underline{R}$  sodass  $\underline{P}\underline{D}\underline{A} = \underline{L}\underline{R}$

Gesucht:  $\vec{x}$

Vorgehen:

1.  $\underline{L}\vec{y} = \underline{P}\underline{D}\vec{b}$  nach  $\vec{y}$  auflösen (Vorwärtseinsetzen)
2.  $\underline{R}\vec{x} = \vec{y}$  nach  $\vec{x}$  auflösen (Rückwärtseinsetzen)

## Inverse mit LU-Zerlegung

Gegeben:  $\underline{A}$

$$\text{Gesucht: } \underline{A}^{-1} := \begin{bmatrix} | & | \\ \vec{x}_1 & \dots & \vec{x}_n \\ | & | \end{bmatrix}$$

Vorgehen:

$\underline{A}\vec{x}_i = \vec{e}_i$ ; für  $i=1, \dots, n$  lösen, wobei  $\vec{e}_i$  der  $i$ -te (kanonische) Einheitsvektor ist

## Nachiteration

wegen Rundungsfehler hat man nicht exakt  $\underline{L}$  und  $\underline{R}$  sondern Annäherungen  $\tilde{\underline{L}}$  und  $\tilde{\underline{R}}$  beim Lösen von  $\underline{A}\vec{x} = \vec{b}$  erhält man somit auch nur eine Näherung  $\vec{x}_0$

es gibt also ein Residuum:  $\vec{r}_0 = \vec{b} - \underline{A}\vec{x}_0$

mithilfe von Nachiteration kann man das Residuum iterativ verkleinern:

Pseudocode:

Für  $k = 0, 1, 2, \dots, \text{nr\_of\_iter}$  berechne:

$$\underline{L}\vec{y}_k = \vec{r}_k; \quad // \text{Vorwärtseinsetzen}$$

$$\underline{R}\vec{\delta}_k = \vec{y}_k; \quad // \text{Rückwärtseinsetzen}$$

$$\vec{x}_{k+1} = \vec{x}_k + \vec{\delta}_k; \quad // \text{Lösung updaten/bessern}$$

$$\vec{r}_{k+1} = \vec{b} - \underline{A}\vec{x}_{k+1}; \quad // \text{Residuum berechnen}$$

## Cholesky-Zerlegung, LDLT-Zerlegung

effizientere Alternative zu LU für sym. pos. def. Matrizen (spd-Matrizen)  
→ etwa doppelt so schnell wie LGS zu lösen

falls  $A \in \mathbb{R}^{n \times n}$  symmetrisch ( $A^T = A$ ) und positiv definit ( $\vec{x}^T A \vec{x} > 0$  für alle  $\vec{x}$ ) ist:

- $A$  hat vollen Rang
- Inverse  $A^{-1}$  ist auch sym. pos. def.
- alle Eigenwerte von  $A > 0$
- Determinante  $\det(A) > 0$
- alle Diagonaleinträge von  $A > 0$
- grösster Eintrag von  $A$  liegt auf der Diagonale
- $A$  besitzt (eindeutige) Cholesky-Zerlegung

gegeben: sym. pos. def. Matrix  $A$

gesucht:  $L, D$  sodass  $A = L D L^T$  mit  $\begin{cases} \text{normierte linke/rechte Dreiecksmatrix } L \\ \text{Diagonalmatrix } D \text{ mit } d_{ii} > 0 \forall i \end{cases}$

$$A = L D L^T \rightarrow \text{entspricht LU-Zerlegung für } B = DLT$$

$$\begin{bmatrix} a_{11} & \dots & a_{1n} \\ \vdots & \ddots & \vdots \\ a_{n1} & \dots & a_{nn} \end{bmatrix} = \begin{bmatrix} 1 & & & & \\ l_{2,1} & 1 & & & \\ \vdots & \vdots & \ddots & & \\ l_{n,1} & \vdots & \vdots & 1 & \\ l_{n,1} & l_{n,2} & \dots & l_{n,n-1} & 1 \end{bmatrix} \begin{bmatrix} d_{11} & & & & \\ & d_{22} & & & \\ & & \ddots & & \\ & & & d_{nn} & \\ & & & & d_{nn} \end{bmatrix} \begin{bmatrix} 1 & l_{2,1} & \dots & l_{n,1} & l_{n,1} \\ & 1 & l_{2,2} & \dots & l_{n,2} \\ & & \ddots & \ddots & \vdots \\ & & & 1 & l_{n,n} \\ & & & & 1 \end{bmatrix}$$

oder: alles in einer Matrix speichern  
→ für in-place Implementierung

$$L_{ip} = \begin{bmatrix} d_{1,1} & & & & \\ l_{2,1} & d_{2,2} & & & \\ \vdots & \vdots & \ddots & & \\ l_{n,1} & l_{n,2} & \dots & l_{n,n-1} & d_{nn} \end{bmatrix}$$

alternative Form → Cholesky-Zerlegung  $A = C C^T$

LDLT kann einfach in Cholesky umgeformt werden:

$$A = C C^T \text{ wobei } C = L D^{1/2}, \quad D^{1/2} = \text{diag}(\sqrt{d_{11}}, \dots, \sqrt{d_{nn}}) \quad \text{Diagonalelemente von } C$$

umgekehrt kann man mit den Diagonalelementen von  $C$  wieder  $L$  erhalten:

$$L = C D^{-1/2}, \quad D^{-1/2} = \text{diag}\left(\frac{1}{\sqrt{d_{11}}}, \dots, \frac{1}{\sqrt{d_{nn}}}\right) \quad \text{Kehrwerte der Diagonalelemente von } C$$

Pseudocode in-place LDLT-Zerlegung

Für  $k = 1, 2, \dots, n$ :

$$d_{kk} \leftarrow a_{kk} - \sum_{j=1}^{k-1} l_{kj}^2 d_{jj};$$

Für  $i = k+1, \dots, n$ :

$$l_{i,k} \leftarrow (a_{i,k} - \sum_{j=1}^{k-1} l_{i,j} d_{j,j} l_{kj}) / d_{kk};$$

Pseudocode Cholesky-Zerlegung

Für  $k = 1, 2, \dots, n$ :

$$c_{k,k} \leftarrow \text{sqrt}(a_{kk} - \sum_{j=1}^{k-1} c_{j,j}^2);$$

Für  $i = k+1, \dots, n$ :

$$c_{i,k} \leftarrow (a_{i,k} - \sum_{j=1}^{k-1} c_{i,j} c_{j,j}) / c_{k,k};$$

LGS  $A \vec{x} = \vec{b}$  mit LDLT:

1.  $L \vec{y} = \vec{b}$  nach  $\vec{y}$  auflösen
2.  $L^T \vec{x} = D^{-1} \vec{y}$  nach  $\vec{x}$  auflösen

LGS  $A \vec{x} = \vec{b}$  mit Cholesky:

1.  $C \vec{y} = \vec{b}$  nach  $\vec{y}$  auflösen
2.  $C^T \vec{x} = \vec{y}$  nach  $\vec{x}$  auflösen

# Lineare Ausgleichsrechnung

## Lineares Ausgleichsproblem

Gegeben: LGS  $\underline{A}\vec{x} = \vec{b}$  mit  $\underline{A} \in \mathbb{R}^{m \times n}$ ,  $m > n$  (Zeilen > Spalten)

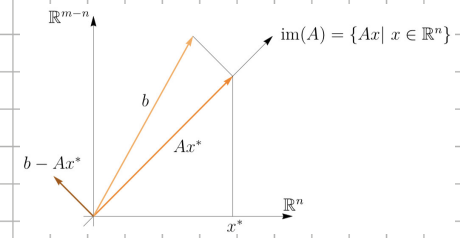
$\Rightarrow$  überbestimmtes LGS ( $\hat{=}$  mehr Messungen als Modellparameter)

$\Rightarrow$  i.A. keine exakte Lösung

beste Lösung (im Sinne von kleinster Fehlerquadrate):

Normalgleichung:  $\underline{A}^T \underline{A} \vec{x}^* = \underline{A}^T \vec{b}$

$\Rightarrow \vec{x}^*$  minimiert (quadratischen) Fehler:  $\|\vec{b} - \underline{A} \vec{x}\|^2 = \min_{\vec{x} \in \mathbb{R}^n} \|\vec{b} - \underline{A} \vec{x}\|$



## Normalgleichung mit LDLT Lösen

1. berechne LDLT-Zerlegung von  $\underline{A}^T \underline{A}$ :  $\underline{L} \underline{D} \underline{L}^T = \underline{A}^T \underline{A}$

2.  $\underline{L} \vec{y} = \underline{A}^T \vec{b}$  nach  $\vec{y}$  auflösen (Vorwärtseinsetzen)

3.  $\underline{L}^T \vec{x} = \underline{D}^{-1} \vec{y}$  nach  $\vec{x}$  auflösen (Rückwärtseinsetzen)

Nachteile:

- Berechnung von  $\underline{A}^T \underline{A}$  für grosse  $m$  aufwendig und teilweise ungünstig
- Rundungsfehler in  $\underline{A}^T \underline{A}$  und  $\underline{A}^T \vec{b}$  werden über Cholesky-Vorfahren teilweise verstärkt
- kann im Extremfall instabil werden

$\rightarrow$  mit QR-Zerlegung versucht man diese Probleme zu umgehen

$\hookrightarrow$  stabiler und nur leicht höherer Rechenaufwand als LDLT

## spektrale Konditionszahl einer Matrix $\underline{A} \in \mathbb{R}^{m \times n}$

$$K_2(\underline{A}) = \frac{\sqrt{\lambda_{\max}(\underline{A}^T \underline{A})}}{\sqrt{\lambda_{\min}(\underline{A}^T \underline{A})}}$$

Wurzel des grössten Eigenwerts von  $\underline{A}^T \underline{A}$

geteilt durch

Wurzel des kleinsten Eigenwerts von  $\underline{A}^T \underline{A}$

falls Spalten von  $\underline{A}$  linear abhängig ( $\underline{A}$  singulär)  $\Rightarrow K_2(\underline{A}) = \infty$

# orthogonale Matrizen

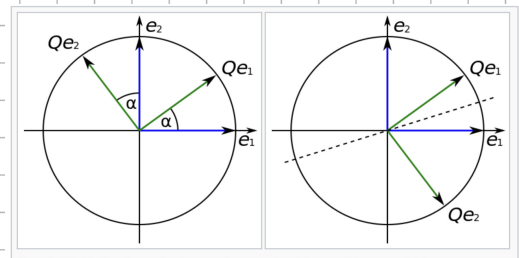
Definition: eine Matrix  $\underline{Q} \in \mathbb{R}^{n \times n}$  ist orthogonal falls  $\underline{Q}^T \underline{Q} = \underline{E}_n$

Inverse:

$$\underline{Q}^{-1} = \underline{Q}^T$$

Eigenschaften:

- $\underline{Q}$  orthogonal  $\Rightarrow \underline{Q}^T$  orthogonal
- $\underline{Q}, \underline{\tilde{Q}}$  orthogonal  $\Rightarrow \underline{Q}\underline{\tilde{Q}}$  orthogonal
- Konditionszahl:  $K_2(\underline{Q}) = 1$
- $K(\underline{A}) = K(\underline{AQ}) = K(\underline{QA})$
- $\|\underline{Q}\vec{x}\| = \|\vec{x}\|$  für beliebigen Vektor  $\vec{x}$
- $\|\underline{A}\| = \|\underline{QA}\| = \|\underline{AQ}\|$  für beliebige Matrix  $\underline{A}$

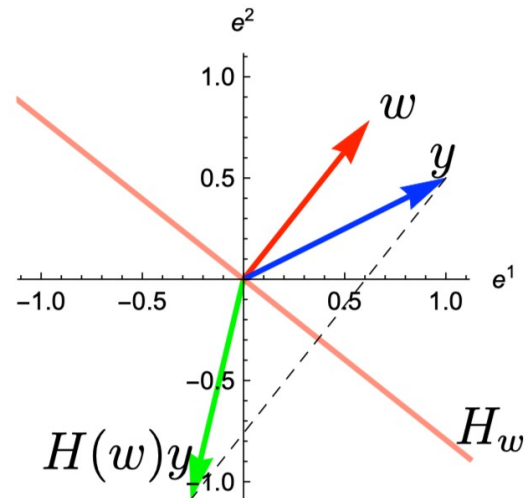


Durch Multiplikation mit einer orthogonalen Matrix  $\underline{Q}$  können Vektoren gedreht (links) oder gespiegelt (rechts) werden. Die Länge der Vektoren und der Winkel zwischen den Vektoren bleiben dabei erhalten.

## Householder-Matrix

$$\begin{aligned} H(\vec{w}) &= \underline{E}_n - 2 \frac{\vec{w}\vec{w}^T}{\langle \vec{w}, \vec{w} \rangle} \\ &= \begin{bmatrix} 1 & & & \\ & \ddots & & \\ & & 1 & \\ & & & 0 \end{bmatrix} - \frac{2}{\langle \vec{w}, \vec{w} \rangle} \begin{bmatrix} w_1 w_1 & \cdots & w_n w_n \\ \vdots & & \vdots \\ w_n w_1 & \cdots & w_n w_n \end{bmatrix} \end{aligned}$$

$H(\vec{w})\vec{y}$  entspricht der Spiegelung von  $\vec{y}$  an der durch  $\vec{w}$  definierten Hyperebene  $H_w$  ( $\vec{w}$  steht senkrecht auf dieser Ebene)



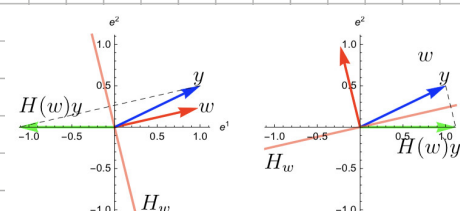
$H(\vec{w})$  ist symmetrisch ( $H^T = H$ ) und orthogonal ( $H^{-1} = H^T$ )

Bei der QR-Zerlegung wählt man  $\vec{w}$  in jedem Schritt so, dass  $\vec{y}$  durch die Spiegelung auf der  $\vec{e}_1$ -Achse landet:

$$H(\vec{w})\vec{y} \stackrel{!}{=} \pm \|\vec{y}\|_2 \vec{e}_1$$

$$\Rightarrow \vec{w} = \vec{y} \pm \text{sign}(y_1) \|\vec{y}\|_2 \vec{e}_1$$

wobei  $\text{sign}(s) = \begin{cases} 1 & \text{für } s \geq 0 \\ -1 & \text{sonst} \end{cases}$



Um Auslöschung zu vermeiden wählt man:  $\vec{w} = \vec{y} + \text{sign}(y_1) \|\vec{y}\|_2 \vec{e}_1$

## QR-Zerlegung

$$1. \quad Q_1 A = \left( \begin{array}{c|c} & * \dots * \\ \text{H}(\vec{w}^{(1)}) & \vec{y}^{(1)} \\ \hline & * \dots * \end{array} \right) \left( \begin{array}{c|c} * & * \dots * \\ \vec{y}^{(1)} & \vdots \\ \hline * & * \dots * \end{array} \right) = \left( \begin{array}{c|c} * & * \dots * \\ 0 & * \dots * \\ \vdots & \vec{y}^{(2)} \\ 0 & * \dots * \end{array} \right) = \underline{A^{(2)}}$$

$$2. \quad Q_2 Q_1 A = \left( \begin{array}{c|c} 1 & 0 & \dots & 0 \\ 0 & 1 & & \\ \vdots & \text{H}(\vec{w}^{(2)}) & & \\ 0 & 0 & & \end{array} \right) \left( \begin{array}{c|c} * & * \dots * \\ 0 & * \dots * \\ \vdots & \vec{y}^{(2)} \\ 0 & * \dots * \end{array} \right) = \left( \begin{array}{c|c} * & * \dots * \\ 0 & * \dots * \\ \vdots & \vec{y}^{(3)} \\ 0 & * \dots * \end{array} \right) = \underline{A^{(3)}}$$

$$3. \quad Q_3 Q_2 Q_1 A = \left( \begin{array}{c|c} 1 & 0 & \dots & 0 \\ 0 & 1 & 0 & \dots & 0 \\ \vdots & \vdots & \text{H}(\vec{w}^{(3)}) & & \\ 0 & 0 & 0 & & \end{array} \right) \left( \begin{array}{c|c} * & * \dots * \\ 0 & * \dots * \\ \vdots & \vec{y}^{(3)} \\ 0 & * \dots * \end{array} \right) = \left( \begin{array}{c|c} * & * \dots * \\ 0 & * \dots * \\ \vdots & \vec{y}^{(4)} \\ 0 & * \dots * \end{array} \right) = \underline{A^{(4)}}$$

usw...

im i-ten Schritt wählt man jeweils:

$$\vec{w}^{(i)} = \vec{y}^{(i)} + \text{sign}(y_i^{(i)}) \|\vec{y}^{(i)}\| \vec{e}_i$$

wobei  $\text{sign}(s) = \begin{cases} 1 & \text{für } s > 0 \\ -1 & \text{sonst} \end{cases}$

→ damit eliminiert man alle Einträge von  $\vec{y}^{(i)}$  außer dem obersten

man erhält somit eine rechte obre Dreiecksmatrix  $\boxed{R = Q_n \dots Q_1 A}$

mit  $\underline{Q} := (Q_n \dots Q_1)^{-1} \stackrel{*}{=} (Q_n \dots Q_1)^T = \underline{Q}_1^T \dots \underline{Q}_n^T$  folgt:

$$\boxed{A = QR \text{ wobei } \underline{Q} = \underline{Q}_1^T \dots \underline{Q}_n^T}$$

\*: weil orthogonal

falls  $m > n$ :

$$\boxed{A = \underline{Q} \quad | \quad R} = \boxed{\underline{Q}_L \quad | \quad \underline{Q}_R \quad | \quad 0} = \boxed{\begin{array}{c|c|c} \text{yellow} & \text{white} & \text{white} \\ \hline \text{yellow} & \text{white} & \text{white} \\ \vdots & \vdots & \vdots \\ \text{yellow} & \text{white} & \text{white} \end{array}} = \boxed{\begin{array}{c|c|c} \text{yellow} & \text{white} & \text{white} \\ \hline \text{yellow} & \text{white} & \text{white} \\ \vdots & \vdots & \vdots \\ \text{yellow} & \text{white} & \text{white} \end{array}}$$

⇒ man benötigt nur die ersten  $n$  Zeilen von  $R$  und erste  $n$  Spalten von  $\underline{Q}$

⇒ reduzierte QR-Zerlegung:

$$\boxed{A = \underline{Q}_L \quad | \quad 0}$$

Normalengleichung mit QR von A (!) lösen

$$\underline{A^T A} \vec{x} = \underline{A^T b} \Leftrightarrow (QR)^T QR \vec{x} = (QR)^T b \Leftrightarrow R^T \underbrace{Q^T Q}_{=E} R \vec{x} = R^T Q^T b \Leftrightarrow R^T R \vec{x} = R^T Q^T b$$
$$\Leftrightarrow R \vec{x} = Q^T b = \vec{c}$$

$$\begin{bmatrix} 0 & \vec{x} \\ \vec{0} & 1 \end{bmatrix} = \begin{bmatrix} Q^T \\ \vec{c} \end{bmatrix} = \begin{bmatrix} \vec{b} \\ 1 \end{bmatrix} \rightarrow \text{nach } \vec{x} \text{ auflösen (Rückwärtsetzen)}$$

Vorteil: i. A. schlecht konditionierte Matrix  $\underline{A^T A}$  kommt nicht mehr vor, da die QR-Zerlegung von  $A$  direkt verwendet werden kann

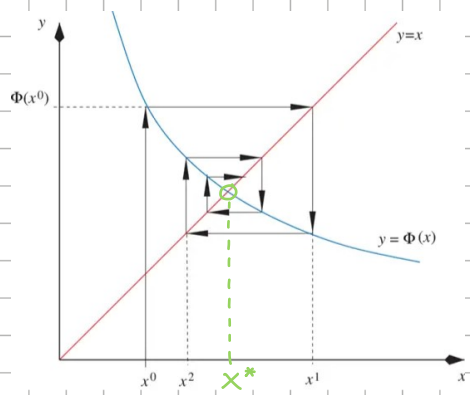
# Nichtlineare Gleichungssysteme ( $m = n$ resp. $\# \text{Gleichungen} = \# \text{Unbekannte}$ )

## Fixpunktiteration

Fixpunktgleichung:  $\begin{pmatrix} x_1 \\ \vdots \\ x_n \end{pmatrix} = \begin{pmatrix} \Phi_1(x_1, \dots, x_n) \\ \vdots \\ \Phi_n(x_1, \dots, x_n) \end{pmatrix}$  bzw.  $\vec{\Phi}(\vec{x}) = \vec{x}$

gesucht: Fixpunkt  $\vec{x}^*$ , sodass Fixpunktgleichung  $\vec{\Phi}(\vec{x}^*) = \vec{x}^*$  erfüllt ist

Iterationsvorschrift:  $\vec{x}_{k+1} = \vec{\Phi}(\vec{x}_k)$



Voraussetzungen:

- es muss Fixpunktgleichung  $\vec{\Phi}(\vec{x}) = \vec{x}$  vorliegen  $\rightarrow$  falls man  $\vec{f}(\vec{x}) = \vec{0}_n$  hat, muss man  $\vec{x}$  auf beiden Seiten addieren:  $\vec{\Phi}(\vec{x}) := \vec{x} + \vec{f}(\vec{x}) = \vec{x}$
- $\vec{\Phi}: E \rightarrow E$  mit  $E \subseteq \mathbb{R}^n$  «Selbstabbildung»
- $\max \|D\vec{\Phi}(\vec{x})\| < 1$  «Kontraktion»

$\Rightarrow$  Dann existiert genau ein Fixpunkt  $\vec{x}^* \in E$  und Fixpunktiteration konvergiert linear gegen  $\vec{x}^*$

## Newtonverfahren

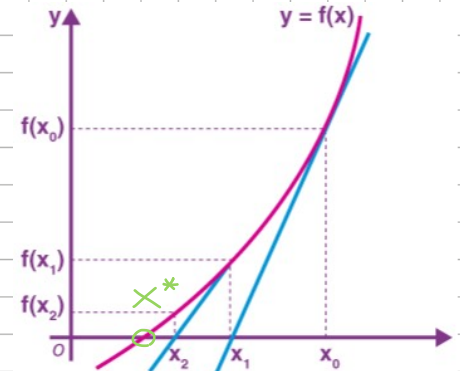
Nullstellengleichung:  $\begin{pmatrix} f_1(x_1, \dots, x_n) \\ \vdots \\ f_n(x_1, \dots, x_n) \end{pmatrix} = \begin{pmatrix} 0 \\ \vdots \\ 0 \end{pmatrix}$  bzw.  $\vec{f}(\vec{x}) = \vec{0}_n$

gesucht: Lösung  $\vec{x}^*$ , sodass Nullstellengleichung  $\vec{f}(\vec{x}^*) = \vec{0}_n$  erfüllt ist

Iterationsvorschrift:

$$D\vec{f}(\vec{x}_k) \vec{\delta}_k = \vec{f}(\vec{x}_k) \text{ nach } \vec{\delta}_k \text{ auflösen}$$

$$\vec{x}_{k+1} = \vec{x}_k - \vec{\delta}_k$$



Falls eine Lösung  $\vec{x}^*$  existiert und man gute Startwerte (idealerweise eine Näherungslösung für  $\vec{x}^*$ ) hat, konvergiert das Newtonverfahren unter gewissen Voraussetzungen quadratisch gegen  $\vec{x}^*$ .

Mögliches Problem:

Falls Jakobi in einer Nullstelle  $\vec{x}^*$  singulär (nicht invertierbar), weil bspw. die Gradienten der einzelnen Komponenten  $f_i$  die  $x_1 \dots x_n$ -Ebene bei  $\vec{x}^*$  nur berühren, aber keinen Nulldurchgang haben, kann  $\|\vec{\delta}_k\|$  in der Nähe von  $\vec{x}^*$  sehr gross werden und das Verfahren divergiert.

## verfeinfachtes Newtonverfahren

um Rechenaufwand zu reduzieren benutzt man oft auch das verfeinfachte Newtonverfahren, bei dem man die Jakobi, bzw. dessen LU-Zerlegung, nur einmal, am Anfang für den Startwert berechnet:

Iterationsvorschrift:

$$\underline{Df}(\vec{x}_0) \vec{\delta}_k = \vec{f}(\vec{x}_k) \text{ nach } \vec{\delta}_k \text{ auflösen} \quad (\text{am besten mit LU von } \underline{Df}(\vec{x}_0))$$

$$\vec{x}_{k+1} = \vec{x}_k - \vec{\delta}_k$$

einzelner Schritt weniger anfällig, braucht jedoch normalerweise mehr Schritte

# Nichtlineare Ausgleichsrechnung ( $m > n$ resp. # Gleichungen > # Unbekannte)

Motivation:

$m$  Messungen  $b_i$  zu Zeitpunkten  $t_i$ ,  $i \in \{1, \dots, m\}$ , für math. Modell mit  $n$  Parametern  $x_j$ ,  $j \in \{1, \dots, n\}$ :

$$\begin{cases} y(t_1, \vec{x}) = b_1 \\ \vdots \\ y(t_m, \vec{x}) = b_m \end{cases} \Leftrightarrow \begin{cases} y(t_1, \vec{x}) - b_1 = 0 \\ \vdots \\ y(t_m, \vec{x}) - b_m = 0 \end{cases} \text{ resp. } \vec{F}(\vec{x}) = \vec{0}_m$$

mit  $F_i(\vec{x}) := y(t_i, \vec{x}) - b_i$

Problemstellung:

gegeben:  $\vec{F}: D \subseteq \mathbb{R}^n \rightarrow \mathbb{R}^m$  mit  $m > n \Rightarrow$  überbestimmtes nichtlineares GS

gesucht:  $\vec{x}^*$ , sodass  $\vec{F}(\vec{x}^*) = \vec{0}_m$

$\Rightarrow$  i.A. keine Lösung, da Bild von  $\vec{F}$  ein nur  $n$ -dimensionales Objekt im  $m$ -dimensionalen  $\mathbb{R}^m$  ist

$\Rightarrow$  man minimiert stattdessen die Residualenquadrate  $\|\vec{F}(\vec{x})\|^2 = F_1(\vec{x})^2 + \dots + F_m(\vec{x})^2$   
resp. die Hälfte davon  $\frac{1}{2}\|\vec{F}(\vec{x})\|^2 = \frac{1}{2}\vec{F}(\vec{x})^T \vec{F}(\vec{x}) =: \phi(\vec{x})$   $\rightarrow$  haben die gleichen Minima

$\phi$  hat in  $\vec{x}^*$  ein lokales Minimum genau dann wenn

- $\vec{\nabla} \phi(\vec{x}^*) = \vec{0}_n$

- $H\phi(\vec{x}^*)$  sym. pos. def.

Gradient von  $\phi$ :

$$\vec{\nabla} \phi(\vec{x}) = \underline{D}\vec{F}(\vec{x})^T \vec{F}(\vec{x})$$

numerisch aufwändig  
 $\hookrightarrow$  wird oft weggelassen

Hessische Matrix von  $\phi$ :

$$H\phi(\vec{x}) = \underline{D}\vec{F}(\vec{x})^T \underline{D}\vec{F}(\vec{x}) + \boxed{\sum_{i=1}^m F_i(\vec{x}) H F_i(\vec{x})}$$

## Newton-Verfahren

Idee: Nullstelle von  $\vec{\nabla} \phi$  bestimmen  $\rightarrow$  normales Newtonverfahren auf  $\vec{\nabla} \phi(\vec{x})$  anwenden

Iterationsvorschrift:

$$H\phi(\vec{x}_k) \vec{\delta}_k = \vec{\nabla} \phi(\vec{x}_k) \text{ nach } \vec{\delta}_k \text{ auflösen}$$

$$\vec{x}_{k+1} = \vec{x}_k - \vec{\delta}_k$$

## Gauss - Newton - Verfahren

Idee:  $\vec{F}(\vec{x})$  in jedem Schritt mit  $m$ -ten Taylorpolynom linearisieren und ein Minimum davon mit linearer Ausgleichsrechnung finden

$$\vec{F}(\vec{x}) \approx \vec{F}(\vec{x}_k) + \underbrace{\underline{DF}(\vec{x}_k)}_{= \vec{\delta}} (\vec{x} - \vec{x}_k) \stackrel{!}{=} \vec{0}_m$$

$$\Rightarrow \underbrace{\underline{DF}(\vec{x}_k)}_{m \times n} \vec{\delta} = -\underbrace{\vec{F}(\vec{x}_k)}_m \rightarrow \text{indefinites LGS, keine Lösung}$$

$$\Rightarrow \underbrace{\underline{DF}(\vec{x}_k)^T}_{n \times n} \underbrace{\underline{DF}(\vec{x}_k) \vec{\delta}}_n = -\underbrace{\underline{DF}(\vec{x}_k)^T \vec{F}(\vec{x}_k)}_n \rightarrow \text{Normalgleichung}$$

### Pseudocode

Für  $k = 0, 1, 2, \dots$  :

$$\underline{J}_k = DF(\vec{x}_k), \quad \vec{y}_k = \vec{F}(\vec{x}_k);$$

$$\underline{J}_k^T \underline{J}_k \vec{\delta}_k = -\underline{J}_k^T \vec{y}_k \text{ nach } \vec{\delta}_k \text{ auflösen};$$

$$\vec{x}_{k+1} = \vec{x}_k + \vec{\delta}_k;$$

Falls  $\|\underline{DF}(\vec{x}_k)^T \vec{F}(\vec{x}_k)\| < tol$ : // Norm des Gradienten von  $\phi = \frac{1}{2} \|\vec{F}(\vec{x})\|^2$

Abbruch; // falls keine Steigung mehr vorhanden  $\Rightarrow$  Minimum erreicht

um Stabilität zu verbessern wird Newtonschritt oft gedämpft

$\rightarrow$  mit Dämpfung verhindert man, dass man zu weit springt und damit ausversehen bergauf rausdet

### Pseudocode für gedämpfte Variante

Für  $k = 0, 1, 2, \dots$  :

$$\underline{J}_k = DF(\vec{x}_k), \quad \vec{y}_k = \vec{F}(\vec{x}_k);$$

$$\underline{J}_k^T \underline{J}_k \vec{\delta}_k = -\underline{J}_k^T \vec{y}_k \text{ nach } \vec{\delta}_k \text{ auflösen};$$

$$\mu = 1.0;$$

Solang  $\|\vec{F}(\vec{x}_k + \mu \vec{\delta}_k)\|^2 > \|\vec{F}(\vec{x}_k)\|^2$  und  $\mu > \mu_{min}$ : // gehts bergauf?

$$\mu = \mu/2; \quad // \text{dann lieber weniger weit springen}$$

$$\vec{x}_{k+1} = \vec{x}_k + \mu \vec{\delta}_k;$$

Falls  $\|\underline{DF}(\vec{x}_k)^T \vec{F}(\vec{x}_k)\| < tol$ : // Norm des Gradienten von  $\phi = \frac{1}{2} \|\vec{F}(\vec{x})\|^2$

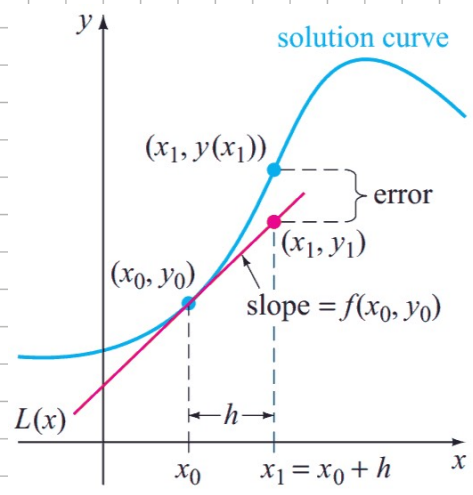
Abbruch; // falls keine Steigung mehr vorhanden  $\Rightarrow$  Minimum erreicht

andere Variante um Stabilität zu verbessern: Levenberg - Marquardt - Verfahren

# gewöhnliche DGL (ODE)

Anfangswertproblem:

$$\begin{aligned} y'(x) &= f(x, y), \quad x \in [a, b] && \text{Steigung von } y \text{ bei } x \\ y(x_0) &= y_0 \end{aligned}$$



Idee:

$[a, b]$  äquidistant unterteilen:

$$a = x_0 < x_1 < \dots < x_{n-1} < x_n = b$$

mit  $x_k = x_0 + k \cdot h$ ,  $h = \frac{b-a}{n}$

ausgehend von  $y_0 = y(x_0)$  mithilfe von  $y'(x) = f(x, y)$  ( $\rightarrow$  Richtungsfeld) Schritt für Schritt Näherungen  $y_k$  für  $y(x_k)$  bestimmen

## einstufige Verfahren

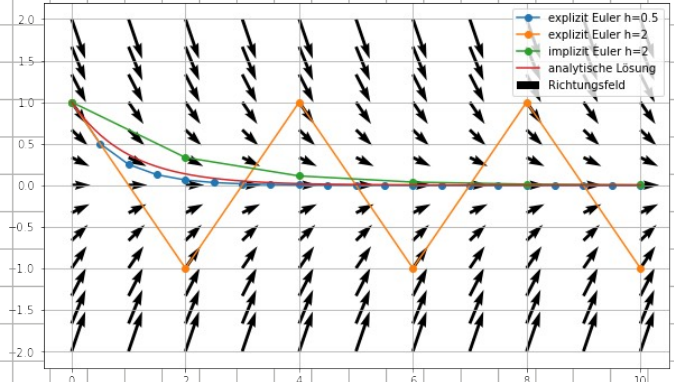
Euler explizit:

mit Steigung am aktuellen Punkt  $(x_k, y_k)$  einen Schritt machen:

$$f(x_k, y_k) \approx \frac{y_{k+1} - y_k}{h}$$

$$\Rightarrow y_{k+1} = y_k + h \cdot f(x_k, y_k)$$
○/○

- unterschätzt exakte Lösung
- oszilliert bei zu grosser Schrittweite  $h$



Euler implizit:

mit Steigung am nächsten Punkt  $(x_{k+1}, y_{k+1})$  einen Schritt machen  
nicht direkt möglich, da  $y_{k+1}$  noch nicht bekannt  $\Rightarrow$  implizite Gleichung für  $y_{k+1}$

$$f(x_{k+1}, y_{k+1}) \approx \frac{y_{k+1} - y_k}{h}$$

$$\Rightarrow y_{k+1} = y_k + h \cdot f(x_{k+1}, y_{k+1})$$

→ mit Newtonverfahren nach  $y_{k+1}$  auflösen

|||

- überschätzt exakte Lösung

## allgemeines einstufiges RK-Verfahren

$$\begin{aligned} k &= f(x_{i-1} + c \cdot h, y_{i-1} + h \cdot a \cdot k) \\ y_i &= y_{i-1} + h \cdot b \cdot k \end{aligned}$$

|     |     |
|-----|-----|
| $c$ | $a$ |
| $b$ |     |

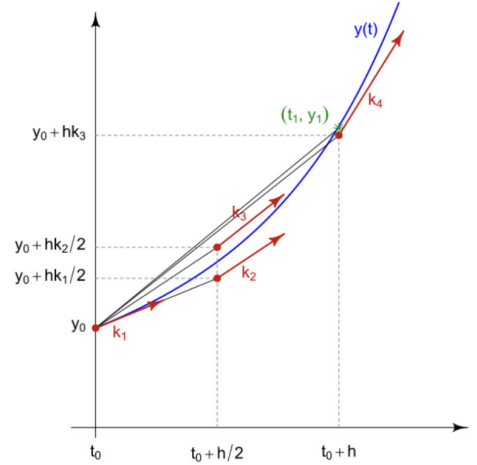
→ explizit falls  $a=0$

## mehrstufige Verfahren

### Verfahren nach Runge (RK2):

$$\begin{aligned} k_1 &= f(x_{i-1}, y_{i-1}) \\ k_2 &= f(x_{i-1} + 1/2 \cdot h, y_{i-1} + 1/2 \cdot h \cdot k_1) \\ y_i &= y_{i-1} + h \cdot 1 \cdot k_2 \end{aligned}$$

|     |     |   |
|-----|-----|---|
| 0   | 0   | 0 |
| 0.5 | 0.5 | 0 |
| 0   | 1   |   |



Das klassische Runge-Kutta-Verfahren mittelt in jedem Schritt vier Hilfssteigungen (rot)

### Verfahren nach Heun:

$$\begin{aligned} k_1 &= f(x_{i-1}, y_{i-1}) \\ k_2 &= f(x_{i-1} + 1 \cdot h, y_{i-1} + 1 \cdot h \cdot k_1) \\ y_i &= y_{i-1} + h \cdot (1/2 \cdot k_1 + 1/2 \cdot k_2) \end{aligned}$$

|     |     |   |
|-----|-----|---|
| 0   | 0   | 0 |
| 1   | 1   | 0 |
| 0.5 | 0.5 |   |

### Klassisches Runge-Kutta-Verfahren (RK4):

$$\begin{aligned} k_1 &= f(x_{i-1}, y_{i-1}) \\ k_2 &= f(x_{i-1} + 1/2 \cdot h, y_{i-1} + 1/2 \cdot h \cdot k_1) \\ k_3 &= f(x_{i-1} + 1/2 \cdot h, y_{i-1} + 1/2 \cdot h \cdot k_2) \\ k_4 &= f(x_{i-1} + 1 \cdot h, y_{i-1} + 1 \cdot h \cdot k_3) \\ y_i &= y_{i-1} + h \cdot (\frac{1}{6}k_1 + \frac{1}{3}k_2 + \frac{1}{3}k_3 + \frac{1}{6}k_4) \end{aligned}$$

|               |               |               |               |
|---------------|---------------|---------------|---------------|
| 0             | 0             | 0             | 0             |
| $\frac{1}{2}$ | $\frac{1}{2}$ | 0             | 0             |
| $\frac{1}{2}$ | 0             | $\frac{1}{2}$ | 0             |
| 1             | 0             | 0             | 1             |
|               | $\frac{1}{6}$ | $\frac{1}{3}$ | $\frac{1}{3}$ |

### Allgemeine s-stufige RK-Verfahren

$$\begin{aligned} k_1 &= f(x_{i-1} + c_1 h, y_{i-1} + h(a_{11}k_1 + \dots + a_{1s}k_s)) \\ &\vdots \\ k_s &= f(x_{i-1} + c_sh, y_{i-1} + h(a_{s1}k_1 + \dots + a_{ss}k_s)) \\ y_i &= y_{i-1} + h \cdot (b_1k_1 + \dots + b_sk_s) \end{aligned}$$

|          |          |          |          |
|----------|----------|----------|----------|
| $c_1$    | $a_{11}$ | $\dots$  | $a_{1s}$ |
| $\vdots$ | $\vdots$ | $\vdots$ | $\vdots$ |
| $c_s$    | $a_{s1}$ | $\dots$  | $a_{ss}$ |
|          | $b_1$    | $\dots$  | $b_s$    |

resp  $\vec{c} | \vec{A} | \vec{b}$

### (F)IRK-Verfahren (fully implicit):

mind. ein Eintrag von  $A$  oberhalb Hauptdiagonale  $\neq 0$

man muss in jedem Schritt Stufengleichung  $\vec{F}(\vec{k}) = \vec{o}_s$  lösen (z.B. mit Newton-Verfahren)  
um die Steigungen  $k_1, \dots, k_s$  zu berechnen:

$$\vec{F}(\vec{k}) = \begin{pmatrix} F_1(k_1, \dots, k_s) \\ \vdots \\ F_s(k_1, \dots, k_s) \end{pmatrix} := \begin{pmatrix} k_1 - f(x_{i-1} + c_1 h, y_{i-1} + h(a_{11}k_1 + \dots + a_{1s}k_s)) \\ \vdots \\ k_s - f(x_{i-1} + c_sh, y_{i-1} + h(a_{s1}k_1 + \dots + a_{ss}k_s)) \end{pmatrix} \stackrel{!}{=} \vec{o}_s$$

### DIRK-Verfahren (diagonally implicit):

$A$  ist linke (untere) Dreiecksmatrix (nur Nullen oberhalb Hauptdiagonale)

Vorteil gegenüber FIRK: Stufengleichungen  $\vec{F}(\vec{k}) = \vec{o}_s$  können sequentiell berechnet werden, da in jeder Stufe  $k_1, \dots, k_{j-1}$  bereits bekannt sind

## SDIRK-Verfahren (singly diagonally implicit):

$A$  ist linke (nurte) Dreiecksmatrix und alle Diagonalelemente sind gleich  
haben vor allem für grosse Systeme von ODEn einen Vorteil

## ERK-Verfahren (explicit)

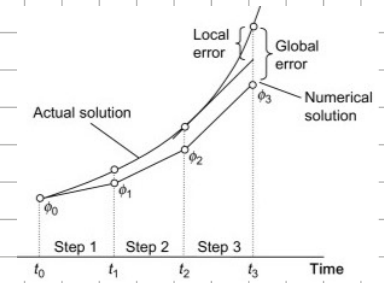
alle Einträge von  $A$  auf und oberhalb der Hauptdiagonale = 0

Vorteile: müssen keine Gleichungen gelöst werden, in der  $j$ -ten Stufe steht explizite Formel für  $k_j \rightarrow$  können direkt eins nach dem andern berechnet werden

## globaler Diskretisierungsfehler

globaler Fehler an Stelle  $x_k = a + kh$  ist definiert als:

$$e(x_k, h) := y(x_k) - y_k \quad (\text{exakter Wert} - \text{numerische Approximation})$$



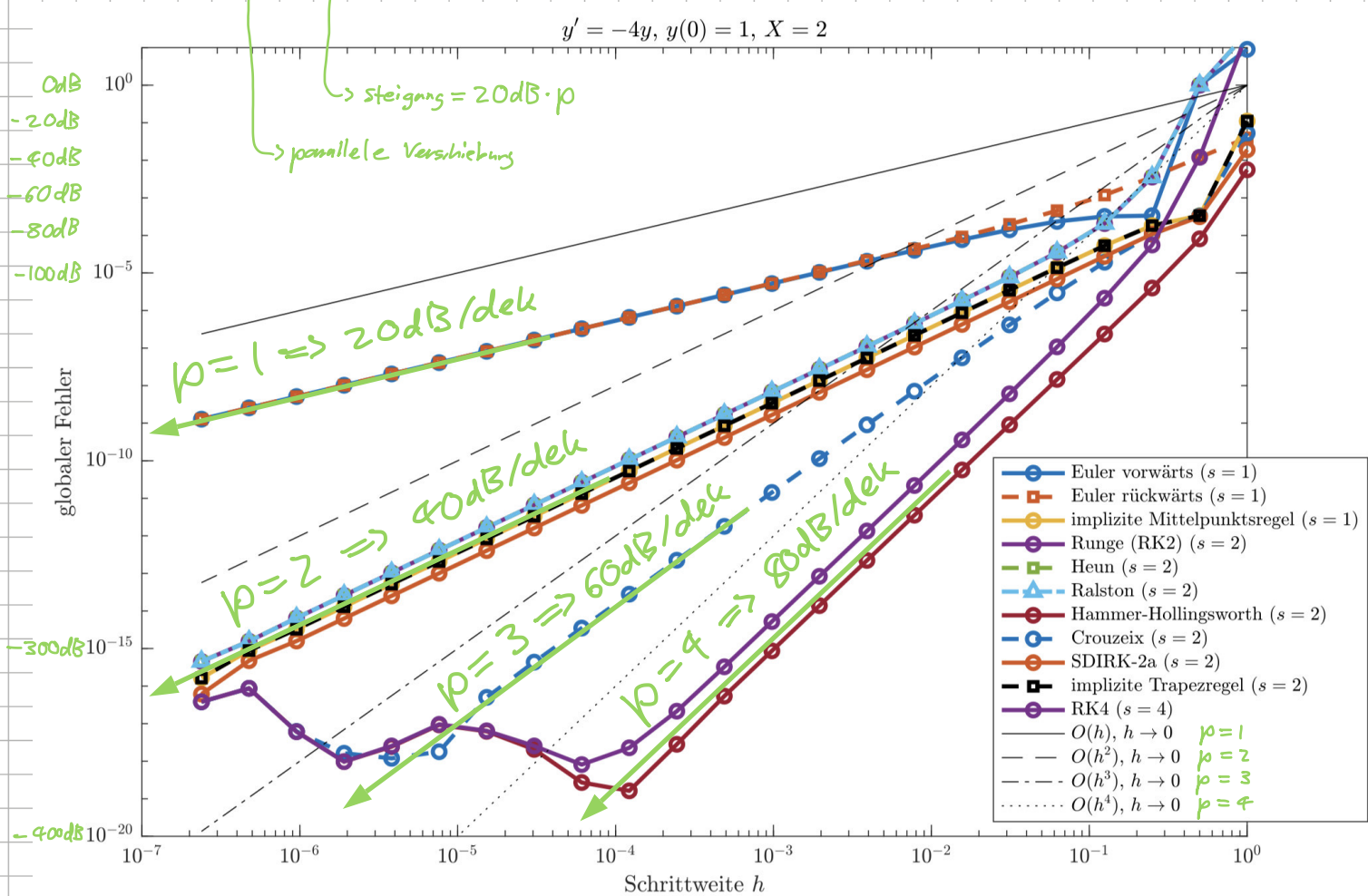
## Konvergenzordnung

Verfahren hat Konvergenzordnung  $p$  falls für irgendeine Konstante  $C > 0$

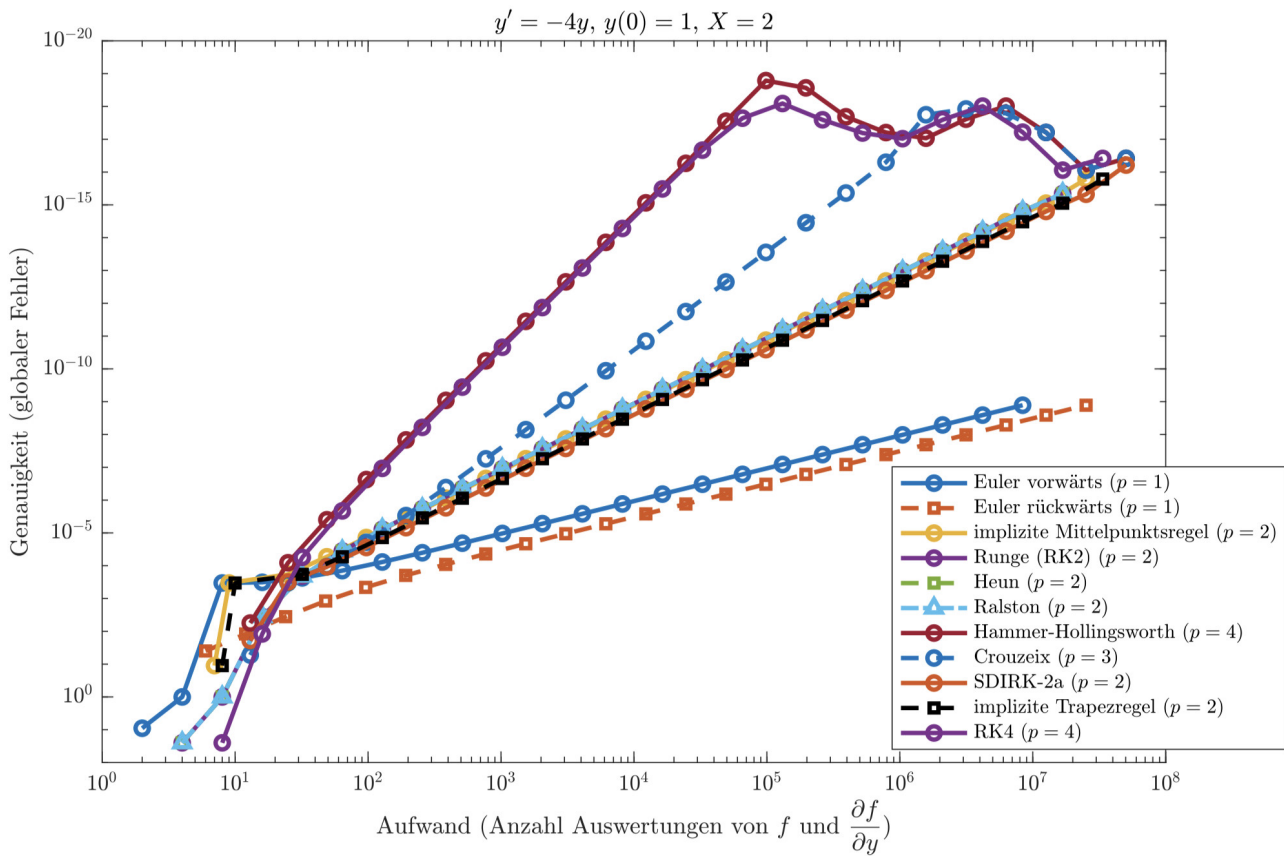
$$e(x_k, h) \leq C \cdot h^p, \quad h \rightarrow 0 \quad \text{für alle } x_k \text{ gilt}$$

→ steigung in loglog(h, e)

→ parallele Verschiebung in loglog(h, e)



# Genauigkeits - Aufwand-Diagramm

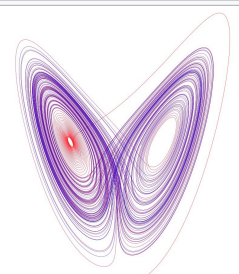


$\Rightarrow$  bei gleichem Aufwand höhere Genauigkeit mit mehrstufigen RK-Verfahren

# Systeme von gewöhnlichen DGLn

Anfangswertproblem:

$$\begin{aligned}\vec{y}'(x) &= \vec{f}(x, \vec{y}) \quad \text{resp} \quad \begin{pmatrix} \frac{d}{dx} y_1(x) \\ \vdots \\ \frac{d}{dx} y_n(x) \end{pmatrix} = \begin{pmatrix} f_1(x, y_1, \dots, y_n) \\ \vdots \\ f_n(x, y_1, \dots, y_n) \end{pmatrix}, \quad x \in [a, b] \\ \vec{y}(x_0) &= \vec{y}_0\end{aligned}$$



A plot of the Lorenz attractor for values  $r = 28$ ,  $\sigma = 10$ ,  $b = 8/3$

alle Verfahren für gDGL kann man auf Systeme von gDGL anwenden, indem man  $y$  durch  $\vec{y}$ ,  $f$  durch  $\vec{f}$ ,  $k_i$  durch  $\vec{k}_i$ , etc. ersetzt

allgemeine s-stufige RK-Verfahren

$$\begin{aligned}\vec{k}_1 &= \vec{f}(x_{i-1} + c_1 h, \vec{y}_{i-1} + h(a_{11}\vec{k}_1 + \dots + a_{1s}\vec{k}_s)) \\ &\vdots \\ \vec{k}_s &= \vec{f}(x_{i-1} + c_s h, \vec{y}_{i-1} + h(a_{s1}\vec{k}_1 + \dots + a_{ss}\vec{k}_s)) \\ \vec{y}_i &= \vec{y}_{i-1} + h \cdot (b_1\vec{k}_1 + \dots + b_s\vec{k}_s)\end{aligned}$$

|          |          |          |          |
|----------|----------|----------|----------|
| $c_1$    | $a_{11}$ | $\dots$  | $a_{1s}$ |
| $\vdots$ | $\vdots$ | $\vdots$ | $\vdots$ |
| $c_s$    | $a_{s1}$ | $\dots$  | $a_{ss}$ |
|          | $b_1$    | $\dots$  | $b_s$    |

$$\text{resp } \vec{c} \left| \begin{array}{c} \vec{A} \\ \vec{b}^T \end{array} \right.$$

(F)IRK-Verfahren (fully implicit):

man muss in jedem Schritt System von  $s \cdot n$  nichtlineare Gleichungen für  $s \cdot n$  Unbekannte lösen:

$$\vec{F}(\vec{k}) = \begin{pmatrix} \vec{F}_1(\vec{k}_1, \dots, \vec{k}_s) \\ \vdots \\ \vec{F}_s(\vec{k}_1, \dots, \vec{k}_s) \end{pmatrix} := \begin{pmatrix} \vec{k}_1 - \vec{f}(x_{i-1} + c_1 h, \vec{y}_{i-1} + h(a_{11}\vec{k}_1 + \dots + a_{1s}\vec{k}_s)) \\ \vdots \\ \vec{k}_s - \vec{f}(x_{i-1} + c_s h, \vec{y}_{i-1} + h(a_{s1}\vec{k}_1 + \dots + a_{ss}\vec{k}_s)) \end{pmatrix} \stackrel{!}{=} \begin{pmatrix} \vec{0}_n \\ \vdots \\ \vec{0}_n \end{pmatrix} = \vec{0}_{sn}$$

ERK-Verfahren (explicit)

man muss keine Gleichungen lösen,  $\vec{k}_i$  können eins nach dem anderen direkt mit  $\vec{f}$  berechnet werden

## Stabilitätsanalyse

Stabilitätsfunktion  $R: \mathbb{C} \rightarrow \mathbb{C}$  eines allg. s-stufigen RK-Verfahrens mit Verfahrensparametern  $\vec{A} \in \mathbb{R}^{s \times s}$  und  $\vec{b} \in \mathbb{R}^s$  ist gegeben durch:

$$R(z) = \frac{\det(E_s - z\vec{A} + z\vec{b}^T)}{\det(E_s - z\vec{A})} = \frac{\det\left(\begin{bmatrix} 1 & 0 & \dots & 0 \\ 0 & 1 & \dots & 0 \\ \vdots & \vdots & \ddots & \vdots \\ 0 & 0 & \dots & 1 \end{bmatrix} - z \begin{bmatrix} a_{11} & \dots & a_{1s} \\ a_{s1} & \dots & a_{ss} \\ \vdots & \vdots & \vdots \\ b_1 & \dots & b_s \end{bmatrix} + z \begin{bmatrix} b_1 & \dots & b_s \\ 0 & \dots & 0 \\ \vdots & \vdots & \vdots \\ 0 & \dots & 0 \end{bmatrix}\right)}{\det\left(\begin{bmatrix} 1 & 0 & \dots & 0 \\ 0 & 1 & \dots & 0 \\ \vdots & \vdots & \ddots & \vdots \\ 0 & 0 & \dots & 1 \end{bmatrix} - z \begin{bmatrix} a_{11} & \dots & a_{1s} \\ a_{s1} & \dots & a_{ss} \\ \vdots & \vdots & \vdots \\ b_1 & \dots & b_s \end{bmatrix}\right)} \in \mathbb{C}, z \in \mathbb{C}$$

Stabilitätsgebiet  $S$  des Verfahrens:

$$S = \{z \in \mathbb{C} \text{ für die } |R(z)| < 1 \text{ ist}\} \subseteq \mathbb{C}$$

Verfahren ist im Punkt  $\vec{c}(x)$  des Richtungsfeldes stabil, falls für alle Eigenwerte  $\lambda_i$  der Jakobi  $J = \partial_{\vec{y}} \vec{f}(x, \vec{c}(x))$  das Produkt aus Schrittweite  $h$  und Eigenwert  $\lambda_i$  im Stabilitätsgebiet liegt:

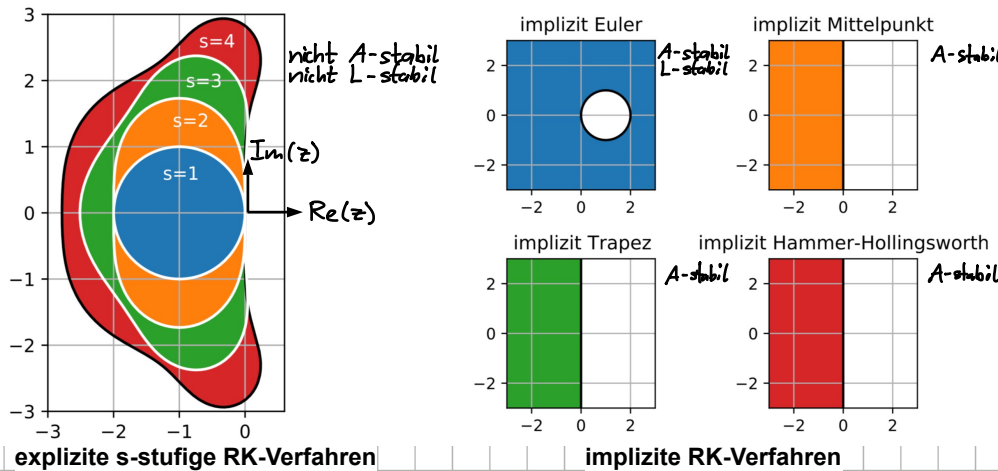
$$|R(h\lambda_i)| < 1 \text{ für alle Eigenwerte } \lambda_i \text{ von } J \Rightarrow \text{Verfahren in } \vec{c}(x) \text{ stabil}$$

Verfahren ist

- $A$ -stabil, falls „ $\operatorname{Re}(z) < 0 \Rightarrow z \in S$ “ erfüllt ist  
→ komplett linke Halbebene im Stabilitätsgebiet
- $L$ -stabil, falls  $A$ -stabil und zusätzlich  $\lim_{\operatorname{Re}(z) \rightarrow \infty} |R(z)| = 0$   
→ wenn man rechts geht, kommt man irgendwann ins Stabilitätsgebiet

für explizite Verfahren ist  $S$  immer beschränkt  $\Rightarrow$  nicht  $A$ -stabil

Stabilitätsbereiche  $S$  anderer RK-Verfahren:



## Energieerhaltung

- konservativ  $\Rightarrow$  Energie bleibt erhalten, falls dies beim physikalischen System auch so ist
- dissipativ  $\Rightarrow$  Energie geht verloren  $\rightarrow$  «numerische Reibung»
- anti-dissipativ  $\Rightarrow$  Energie nimmt zu  $\rightarrow$  unerwünscht!

## Übersicht

| Runge-Kutta-Verfahren       | s | p |          | Stabilität | Energie, $\lambda = -\iota, h > 0$   |   |
|-----------------------------|---|---|----------|------------|--|---|
| Euler vorwärts              | 1 | 1 | explizit | –          | anti-dissipativ  | $\rightarrow$ überschätzt exakte Lösung $\Rightarrow E \uparrow$    |
| Euler rückwärts             | 1 | 1 | implizit | L-stabil   | dissipativ   | $\rightarrow$ unterschätzt exakte Lösung $\Rightarrow E \downarrow$ |
| implizite Mittelpunktsregel | 1 | 2 | implizit | A-stabil   | konservativ  | $\rightarrow$ Mischung aus beiden Euler                             |
| Runge (RK2)                 | 2 | 2 | explizit | –          | anti-dissipativ  |   |
| Heun                        | 2 | 2 | explizit | –          | anti-dissipativ  |   |
| Ralston                     | 2 | 2 | explizit | –          | anti-dissipativ  |   |
| Hammer-Hollingsworth        | 2 | 4 | implizit | A-stabil   | konservativ  |   |
| Crouzeix                    | 2 | 3 | implizit | L-stabil   | dissipativ   |   |
| SDIRK-2a                    | 2 | 2 | implizit | L-stabil   | dissipativ   |   |
| implizite Trapezregel       | 2 | 2 | implizit | A-stabil   | konservativ  |   |
| RK4                         | 4 | 4 | explizit | –          | anti-dissipativ für $h > 2\sqrt{2}$<br>konservativ für $h = 2\sqrt{2}$<br>dissipativ für $h < 2\sqrt{2}$ |   |

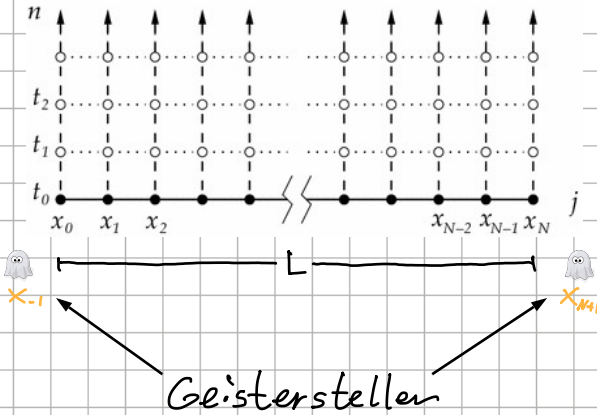
# partielle DGL (PDE)

Problemstellung:

Wie entwickelt sich Temperaturverteilung  $u(t, x)$  in Stab der Länge  $L$ , wenn am Anfang ( $t=0$ ) die Temperatur gemäss  $\phi(x)$  verteilt ist

→ (vereinfachte) Wärmeleitungsgleichgng:

$$\frac{\partial}{\partial t} u(t, x) = \frac{\partial^2}{\partial x^2} u(t, x), \text{ kurz: } u_t = u_{xx}$$



Diskretisierung:

Schrittweite in Zeit:  $\Delta t = n \Delta t$

Schrittweite im Ort:  $x = jh$ ,  $j = 0, \dots, N$  mit  $h = L/N$

→ manchmal zusätzlich noch Einführung von Geisterstellen  $x_{-1}$ ,  $x_{N+1}$  notwendig

$u(t, x) = u(n \Delta t, jh) \approx u_{n,j}$  Temperatur bei Ort  $x_j$  zur Zeit  $t_n$

Anfangsbedingungen:  $\phi(x) \triangleq$  Temperaturverteilung des Stabes zur Zeit  $t=0$

Randbedingungen:

Dirichlet → Werte (durch Funktion) vorgegeben:  $u(t, 0) = l(t)$ ,  $u(t, L) = r(t)$

Neumann → (örtliche) Ableitung vorgegeben  $u'(t, 0) = g_l(t)$ ,  $u'(t, L) = g_r(t)$

isotherme Randbedingungen: Dirichlet mit konstanten Werten:  $l(t)$ ,  $r(t)$  const.

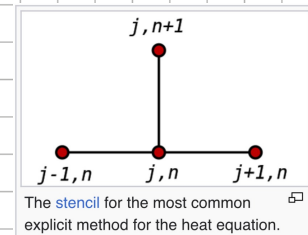
adiabatische Randbedingungen: Neumann mit  $g_l(t) = g_r(t) = 0$

FTCS (forward time, central space) explizites Verfahren

$$u_i \approx \frac{u_{n+1,i} - u_{n,i}}{\Delta t}$$

$$u'' \approx \frac{u_{n,i+1} - 2u_{n,i} + u_{n,i-1}}{h^2}$$

$$u_i = u'' \rightarrow \frac{u_{n+1,i} - u_{n,i}}{\Delta t} = \frac{u_{n,i+1} - 2u_{n,i} + u_{n,i-1}}{h^2}$$



nach  $u_{n+1,i}$  umgelöst:

$$u_{n+1,i} = u_{n,i} + \frac{u_{n,i+1} - 2u_{n,i} + u_{n,i-1}}{h^2} \Delta t$$

Temperatur bei Ort  $x_j$  zur Zeit  $t_{n+1}$

→ für innere Punkte hat man also eine explizite Berechnungsvorschrift

äußeren beiden Punkte → durch Randbedingungen gegeben

Voraussetzung für Stabilität:  $\frac{\Delta t}{h^2} \leq \frac{1}{2}$

→ bei hoher Ortsauflösung ( $h$  klein,  $h^2$  sehr klein) ⇒ sehr viele Zeitschritte nötig  
 → oft nicht brauchbar (außer mit guter Grafikkarte)

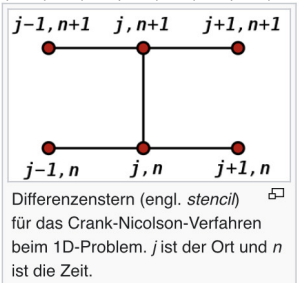
Alternative: Crank-Nicolson - Verfahren → keine Stabilitätsbedingung

# Crank - Nicolson - Verfahren implizites Verfahren

Mischung aus FTCS und BTCS (backward in time, centered space)

analog zu Trapezmethode  $\Rightarrow$  um einiges schneller stabil

$$(\delta u)_{n,j} := \frac{u_{n,j+1} - 2u_{n,j} + u_{n,j-1}}{h^2}$$



$$\frac{u_{n+1,j} - u_{n,j}}{\Delta t} = \frac{1}{2} (\delta u)_{n,j} + \frac{1}{2} (\delta u)_{n+1,j}$$

halb FTCS, halb BTCS

alle Unbekannten (Index  $n+1 \leq$  nächster Zeitpunkt) auf linke Seite bringen führt auf LGS für innere Punkte:

$$-\frac{\Delta t}{2h^2} u_{n+1,j-1} + \left(1 + \frac{\Delta t}{h^2}\right) u_{n+1,j} - \frac{\Delta t}{2h^2} u_{n+1,j+1} = u_{n,j} + \frac{\Delta t}{2} (\delta u)_{n,j}$$

$$\Leftrightarrow \begin{bmatrix} \frac{-\Delta t}{2h^2} & 1 + \frac{\Delta t}{h^2} & \frac{-\Delta t}{2h^2} \\ & \ddots & \\ \frac{-\Delta t}{2h^2} & 1 + \frac{\Delta t}{h^2} & \frac{-\Delta t}{2h^2} \end{bmatrix}_{N-1 \times N+1} \begin{bmatrix} u_{n+1,0} \\ u_{n+1,1} \\ \vdots \\ u_{n+1,N-1} \\ u_{n+1,N} \end{bmatrix}_{N+1} = \begin{bmatrix} u_{n,1} + \frac{\Delta t}{2} (\delta u)_{n,1} \\ \vdots \\ u_{n,N-1} + \frac{\Delta t}{2} (\delta u)_{n,N-1} \end{bmatrix}_{N-1}$$

$$\Leftrightarrow \begin{bmatrix} 1 + \frac{\Delta t}{h^2} & \frac{-\Delta t}{2h^2} & & \\ \frac{-\Delta t}{2h^2} & \ddots & & \\ & \ddots & 1 + \frac{\Delta t}{h^2} & \\ & & \frac{-\Delta t}{2h^2} & \ddots \end{bmatrix}_{N-1 \times N-1} \begin{bmatrix} u_{n+1,1} \\ \vdots \\ u_{n+1,N-1} \end{bmatrix}_{N-1} = \begin{bmatrix} u_{n,1} + \frac{\Delta t}{2} (\delta u)_{n,1} \\ \vdots \\ u_{n,N-1} + \frac{\Delta t}{2} (\delta u)_{n,N-1} \end{bmatrix}_{N-1} + \begin{bmatrix} \frac{\Delta t}{2h^2} u_{n+1,0} \\ & \ddots \\ & & \frac{\Delta t}{2h^2} u_{n+1,N} \end{bmatrix}_{N-1}$$

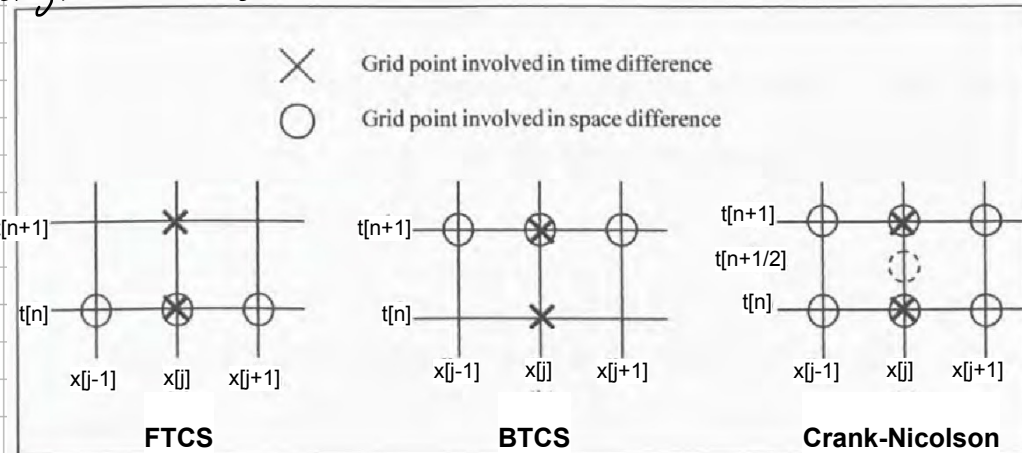
*konstanter, symmetrisch positiv definite Matrix*

*innere Punkte zu nächstem Zeitpunkt*

*ans letztem Zeitpunkt*

*durch Randwerte gegeben*

Vergleich mit FTCS und BTCS:



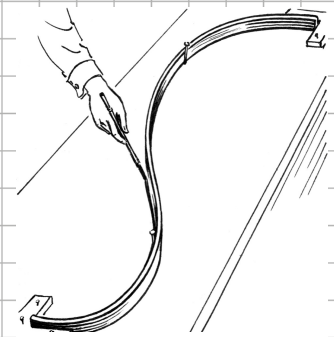
# Splines

gegeben:  $n+1$  Stützstellen  $(x_i, y_i)$ ,  $i = 0, \dots, n$

Spline kten Grades:

Funktion welche stückweise aus Polynomen kten Grades zusammengesetzt ist und durch vorgegebenen Stützstellen («Knoten») geht

$$S(x) = \begin{cases} S_1(x), & x \in [x_0, x_1] \\ S_2(x), & x \in [x_1, x_2] \\ \vdots \\ S_n(x), & x \in [x_{n-1}, x_n] \end{cases}$$



Worterkunft: Der Begriff stammt aus dem Schiffbau: eine lange dünne Latte (Straklatte, englisch spline), die an einzelnen Punkten durch Molche fixiert wird, biegt sich genau wie ein kubischer Spline. Dabei wird die Spannungsenergie minimal.

an Knoten müssen  $k-1$  Ableitungen übereinstimmen;

- bei  $k=1$  müssen die Knoten einfach (mit Maßstab) verbunden werden
- bei  $k=3$  (kubische Splines) müssen an den Knoten auch die Steigung und Krümmung übereinstimmen

stückweise lineare Interpolation ( $k=1$ )

$$S_i(x) = \frac{x_i - x}{x_i - x_{i-1}} y_{i-1} + \frac{x - x_{i-1}}{x_i - x_{i-1}} y_i \quad \text{wobei } i = 1, 2, \dots, n$$

kubische Splines ( $k=3$ )

$$\begin{aligned} S_i(x) &= \frac{1}{6} \frac{(x_i - x)^3}{h_i} M_{i-1} + \frac{1}{6} \frac{(x - x_{i-1})^3}{h_i} M_i + \underbrace{\left( \frac{y_i - y_{i-1}}{h_i} - \frac{h_i}{6} (M_i - M_{i-1}) \right)}_{C_i} (x - x_{i-1}) + \underbrace{y_{i-1} - \frac{h_i^2}{6} M_{i-1}}_{d_i} \\ &= \frac{1}{6} \frac{(x_i - x)^3}{h_i} M_{i-1} + \frac{1}{6} \frac{(x - x_{i-1})^3}{h_i} M_i + C_i (x - x_{i-1}) + d_i \quad \text{wobei } i = 1, 2, \dots, n \end{aligned}$$

$$\text{mit } C_i = \frac{y_i - y_{i-1}}{h_i} - \frac{h_i}{6} (M_i - M_{i-1}), \quad d_i = y_{i-1} - \frac{h_i^2}{6} M_{i-1}, \quad h_i = x_i - x_{i-1}$$

für innere Momente  $M_i$ ,  $i \in \{1, 2, \dots, n-1\}$ , müssen folgende  $n-1$  Gleichungen erfüllt sein:

$$\frac{h_i}{6} M_{i-1} + \frac{h_i + h_{i+1}}{3} M_i + \frac{h_{i+1}}{6} M_{i+1} = \frac{y_{i+1} - y_i}{h_{i+1}} - \frac{y_i - y_{i-1}}{h_i}$$

aus Randbedingungen erhält man 2 weitere Gleichungen mit welchen man die äusseren beiden Momente  $M_0$  und  $M_n$  eliminieren kann

man erhält dann ein LGS für die inneren Momente:

$$A \vec{M} = \vec{b} \quad \text{mit } \vec{M} := (M_1, \dots, M_{n-1})^T \in \mathbb{R}^{n-1}, \quad A \in \mathbb{R}^{(n-1) \times (n-1)}, \quad \vec{b} \in \mathbb{R}^{n-1}$$

Randbedingungen

Annahme:

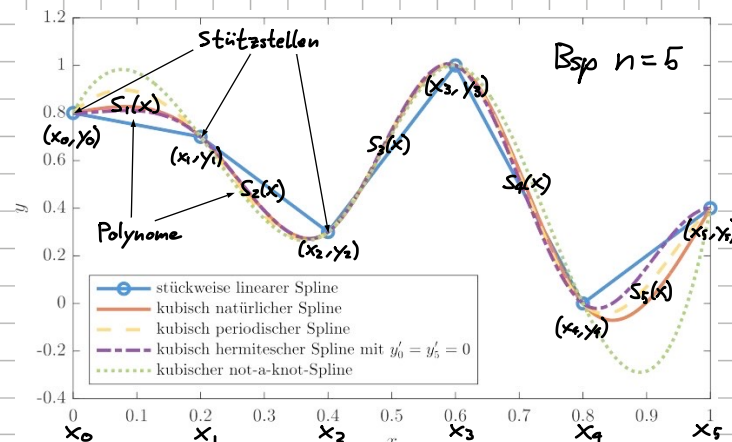
$$\alpha = x_0 < x_1 < \dots < x_{n-1} < x_n = b$$

$$\text{mit } x_i = \alpha + i \cdot h$$

→ alle  $x_i$  denselben Abstand  $h$

$$A \vec{M} = \vec{b} \quad \text{für verschiedene Randbedingungen}$$

↳ nächste Seite



natürliche («freier Rand»):  $s''(a) = s''(b) = 0$

$$\begin{bmatrix} 4 & 1 \\ 1 & 4 \\ \vdots & \vdots \\ 1 & 4 \end{bmatrix} \begin{bmatrix} M_1 \\ M_2 \\ \vdots \\ M_{n-2} \\ M_{n-1} \end{bmatrix} = \frac{6}{h^2} \begin{bmatrix} y_0 - 2y_1 + y_2 \\ y_1 - 2y_2 + y_3 \\ \vdots \\ y_{n-3} - 2y_{n-2} + y_{n-1} \\ y_{n-2} - 2y_{n-1} + y_n \end{bmatrix}$$

$$M_0 = M_n = 0$$

periodisch:  $s'(a) = s'(b)$ ,  $s'''(a) = s'''(b)$

$$\begin{bmatrix} 15 & 4 & -1 \\ 4 & 16 & \\ \vdots & \vdots & \\ 16 & 4 & \\ -1 & 4 & 15 \end{bmatrix} \begin{bmatrix} M_1 \\ M_2 \\ \vdots \\ M_{n-2} \\ M_{n-1} \end{bmatrix} = \frac{6}{h^2} \begin{bmatrix} 4y_0 - 8y_1 + 4y_2 \\ 4y_1 - 8y_2 + 4y_3 \\ \vdots \\ 4y_{n-3} - 8y_{n-2} + 4y_{n-1} \\ 4y_{n-2} - 8y_{n-1} + 4y_n \end{bmatrix} + \frac{6}{h^2} \begin{bmatrix} y_n - y_{n-1} - y_1 + y_0 \\ \vdots \\ y_n - y_{n-1} - y_1 + y_0 \end{bmatrix}$$

$$M_0 = M_n = \frac{3}{2h^2} (y_1 - y_0 - y_n + y_{n-1}) - \frac{1}{4} (M_1 + M_{n-1})$$

hermitosch («eingespannter Rand»):  $s'(a) = y'_0$ ,  $s'(b) = y'_n$

$$\begin{bmatrix} 7 & 2 \\ 2 & 8 \\ \vdots & \vdots \\ 8 & 2 \\ 2 & 7 \end{bmatrix} \begin{bmatrix} M_1 \\ M_2 \\ \vdots \\ M_{n-2} \\ M_{n-1} \end{bmatrix} = \frac{6}{h^2} \begin{bmatrix} 3y_0 - 5y_1 + 2y_2 \\ 2y_1 - 4y_2 + 2y_3 \\ \vdots \\ 2y_{n-3} - 4y_{n-2} + 2y_{n-1} \\ 2y_{n-2} - 5y_{n-1} + 3y_n \end{bmatrix} + \frac{6}{h} \begin{bmatrix} y'_0 \\ 0 \\ \vdots \\ 0 \\ -y'_n \end{bmatrix}$$

$$M_0 = -\frac{1}{2}M_1 + \frac{3}{h} \left( \frac{y_1 - y_0}{h} - y'_0 \right), \quad M_n = -\frac{1}{2}M_{n-1} + \frac{3}{h} \left( y'_n - \frac{y_n - y_{n-1}}{h} \right)$$

not-a-knot:  $s_1'''(x_1) = s_2'''(x_1)$ ,  $s_{n-1}'''(x_{n-1}) = s_n'''(x_{n-1})$

$$\begin{bmatrix} 6 & 0 \\ 1 & 4 & 1 \\ \vdots & \vdots & \vdots \\ 1 & 4 & 1 \\ 0 & 6 \end{bmatrix} \begin{bmatrix} M_1 \\ M_2 \\ \vdots \\ M_{n-2} \\ M_{n-1} \end{bmatrix} = \frac{6}{h^2} \begin{bmatrix} y_0 - 2y_1 + y_2 \\ y_1 - 2y_2 + y_3 \\ \vdots \\ y_{n-3} - 2y_{n-2} + y_{n-1} \\ y_{n-2} - 2y_{n-1} + y_n \end{bmatrix}$$

$$M_0 = 2M_1 - M_2, \quad M_n = 2M_{n-1} - M_{n-2}$$